

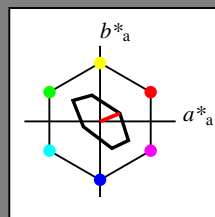
Eingabe: Farbmetrisches Fernseh-Licht-System TLS70

für Buntton $h^* = lab^*h = 22/360 = 0.061$ lab^*ich und lab^*nch

D65: Buntton O

LCH*Ma: 76 28 22

olv*Ma: 1.0 0.0 0.0

Dreiecks-Helligkeit t^* 

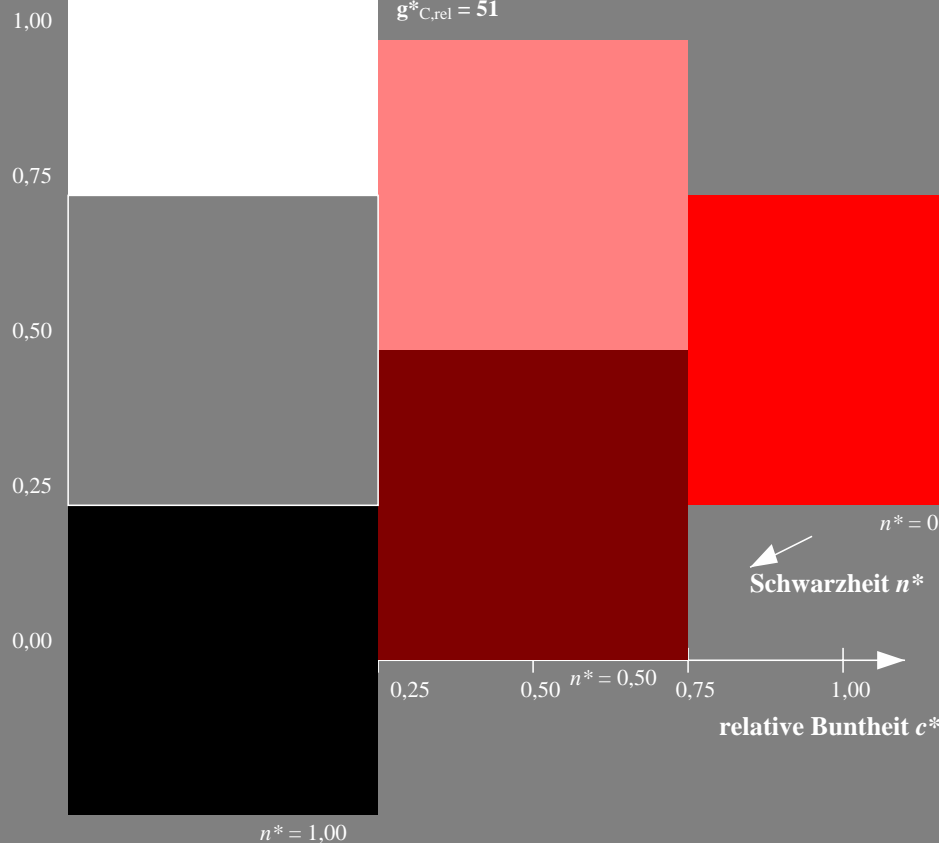
TLS70; adaptierte CIELAB-Daten

	$L^*=L^*_a$	a^*_a	b^*_a	$C^*_{ab,a}$	$h^*_{ab,a}$
O _{Ma}	76.43	26.27	10.57	28.32	22
Y _{Ma}	93.93	-10.76	34.63	36.27	107
L _{Ma}	89.32	-35.8	27.64	45.24	142
C _{Ma}	90.93	-21.95	-7.07	23.07	198
V _{Ma}	72.1	15.76	-35.63	38.97	294
M _{Ma}	78.5	37.52	-25.23	45.22	326
N _{Ma}	69.7	0.0	0.0	0.0	0
W _{Ma}	95.41	0.0	0.0	0.0	0
R _{CIE}	39.92	58.74	27.99	65.07	25
J _{CIE}	81.26	-2.88	71.56	71.62	92
G _{CIE}	52.23	-42.41	13.6	44.55	162
B _{CIE}	30.57	1.41	-46.46	46.49	272

%Umfang

 $u^*_{rel} = 16$

%Regularität

 $g^*_{H,rel} = 34$ $g^*_{C,rel} = 51$ 

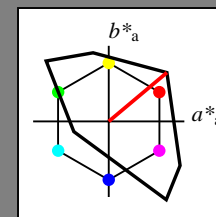
Ausgabe: Farbmetrisches Fernseh-Licht-System TLS00

für Buntton $h^* = lab^*h = 40/360 = 0.111$ lab^*ich und lab^*nch

D65: Buntton O

LCH*Ma: 51 100 40

olv*Ma: 1.0 0.0 0.0

Dreiecks-Helligkeit t^* 

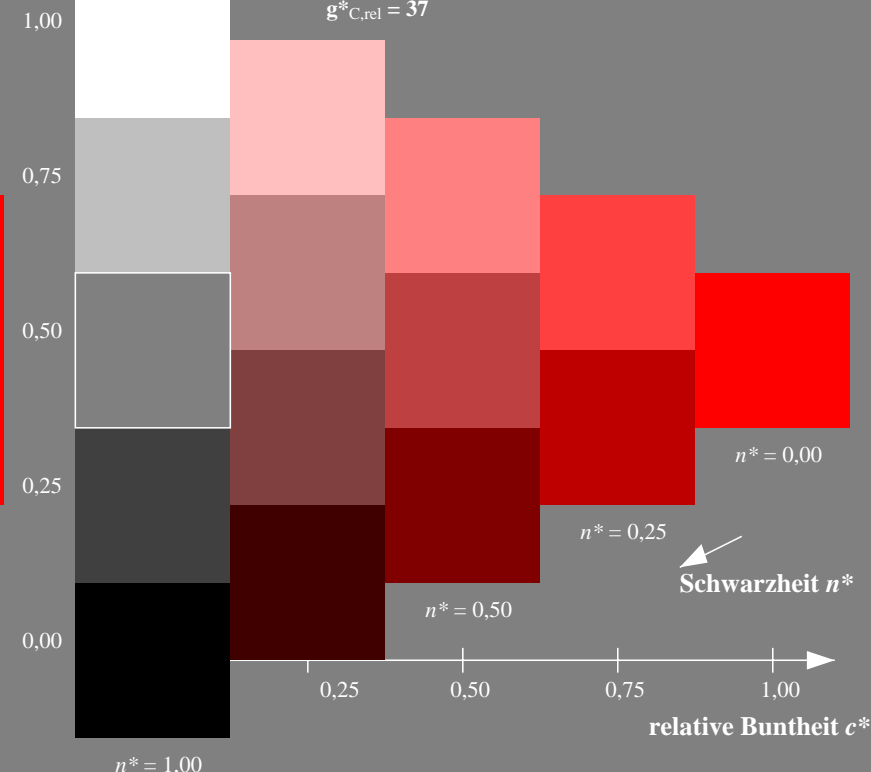
TLS00; adaptierte CIELAB-Daten

	$L^*=L^*_a$	a^*_a	b^*_a	$C^*_{ab,a}$	$h^*_{ab,a}$
O _{Ma}	50.5	76.92	64.55	100.42	40
Y _{Ma}	92.66	-20.69	90.75	93.08	103
L _{Ma}	83.63	-82.75	79.9	115.04	136
C _{Ma}	86.88	-46.16	-13.55	48.12	196
V _{Ma}	30.39	76.06	-103.59	128.52	306
M _{Ma}	57.3	94.35	-58.41	110.97	328
N _{Ma}	0.01	0.0	0.0	0.0	0
W _{Ma}	95.41	0.0	0.0	0.0	0
R _{CIE}	39.92	58.74	27.99	65.07	25
J _{CIE}	81.26	-2.88	71.56	71.62	92
G _{CIE}	52.23	-42.41	13.6	44.55	162
B _{CIE}	30.57	1.41	-46.46	46.49	272

%Umfang

 $u^*_{rel} = 158$

%Regularität

 $g^*_{H,rel} = 20$ $g^*_{C,rel} = 37$ 

NG880-7, 3stufige Reihen für konstanten CIELAB Buntton 22/360 = 0.061 (links)

5stufige Reihen für konstanten CIELAB Buntton 40/360 = 0.111 (rechts)

BAM-Prüfvorlage NG88; Farbmetrik-Systeme ORS18 & ORS18input: olv* setrgbcolor

D65: 3 und 5stufige Farbreihen für 10 Bunttöne

output: Startup (S) data dependend

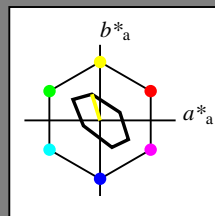
Eingabe: Farbmetrisches Fernseh-Licht-System TLS70

für Buntton $h^* = lab^*h = 107/360 = 0.298$ lab^*ich und lab^*nch

D65: Buntton Y

LCH*Ma: 94 36 107

olv*Ma: 1.0 1.0 0.0

Dreiecks-Helligkeit t^* 

%Umfang

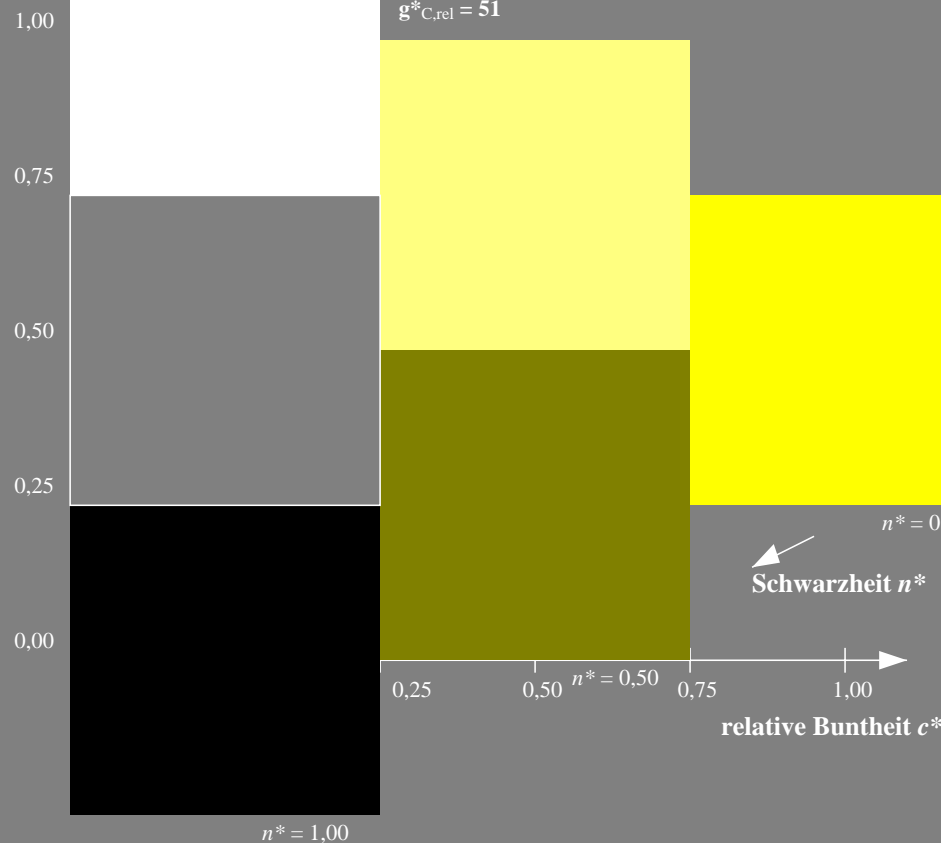
 $u^*_{rel} = 16$

%Regularität

 $g^*_{H,rel} = 34$ $g^*_{C,rel} = 51$

TLS70; adaptierte CIELAB-Daten

	$L^*=L^*_a$	a^*_a	b^*_a	$C^*_{ab,a}$	$h^*_{ab,a}$
OMa	76.43	26.27	10.57	28.32	22
YMa	93.93	-10.76	34.63	36.27	107
LMa	89.32	-35.8	27.64	45.24	142
CMa	90.93	-21.95	-7.07	23.07	198
VMa	72.1	15.76	-35.63	38.97	294
MMa	78.5	37.52	-25.23	45.22	326
NMa	69.7	0.0	0.0	0.0	0
WMa	95.41	0.0	0.0	0.0	0
RCIE	39.92	58.74	27.99	65.07	25
JCIE	81.26	-2.88	71.56	71.62	92
GCIE	52.23	-42.41	13.6	44.55	162
BCIE	30.57	1.41	-46.46	46.49	272



NG880-7, 3stufige Reihen für konstanten CIELAB Buntton 107/360 = 0.298 (links)

BAM-Prüfvorlage NG88; Farbmetrik-Systeme ORS18 & ORS18input: olv* setrgbcolor

D65: 3 und 5stufige Farbreihen für 10 Bunttöne

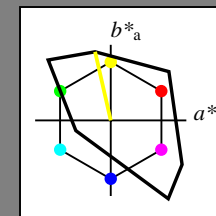
Ausgabe: Farbmetrisches Fernseh-Licht-System TLS00

für Buntton $h^* = lab^*h = 103/360 = 0.286$ lab^*ich und lab^*nch

D65: Buntton Y

LCH*Ma: 93 93 103

olv*Ma: 1.0 1.0 0.0

Dreiecks-Helligkeit t^* 

%Umfang

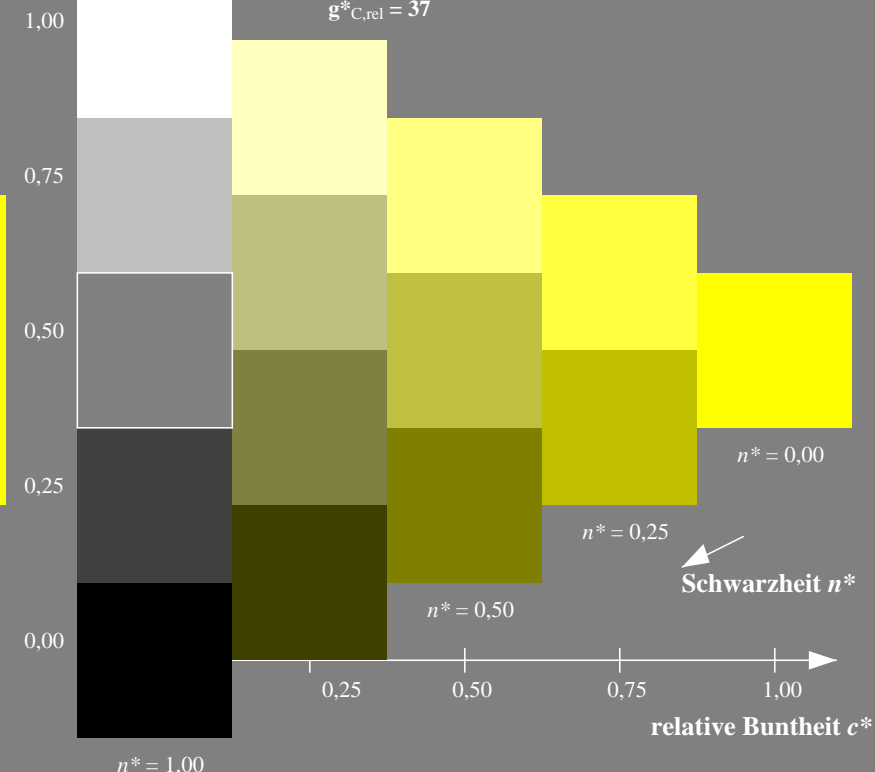
 $u^*_{rel} = 158$

%Regularität

 $g^*_{H,rel} = 20$ $g^*_{C,rel} = 37$

TLS00; adaptierte CIELAB-Daten

	$L^*=L^*_a$	a^*_a	b^*_a	$C^*_{ab,a}$	$h^*_{ab,a}$
OMa	50.5	76.92	64.55	100.42	40
YMa	92.66	-20.69	90.75	93.08	103
LMa	83.63	-82.75	79.9	115.04	136
CMa	86.88	-46.16	-13.55	48.12	196
VMa	30.39	76.06	-103.59	128.52	306
MMa	57.3	94.35	-58.41	110.97	328
NMa	0.01	0.0	0.0	0.0	0
WMa	95.41	0.0	0.0	0.0	0
RCIE	39.92	58.74	27.99	65.07	25
JCIE	81.26	-2.88	71.56	71.62	92
GCIE	52.23	-42.41	13.6	44.55	162
BCIE	30.57	1.41	-46.46	46.49	272



5stufige Reihen für konstanten CIELAB Buntton 103/360 = 0.286 (rechts)

output: Startup (S) data dependend

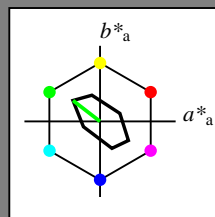
Eingabe: Farbmetrisches Fernseh-Licht-System TLS70

für Buntton $h^* = lab^*h = 142/360 = 0.395$ lab^*ich und lab^*nch

D65: Buntton L

LCH*Ma: 89 45 142

olv*Ma: 0.0 1.0 0.0

Dreiecks-Helligkeit t^* 

%Umfang

 $u^*_{rel} = 16$

%Regularität

 $g^*_{H,rel} = 34$ $g^*_{C,rel} = 51$

TLS70; adaptierte CIELAB-Daten

	$L^*=L^*_a$	a^*_a	b^*_a	$C^*_{ab,a}$	$h^*_{ab,a}$
O _{Ma}	76.43	26.27	10.57	28.32	22
Y _{Ma}	93.93	-10.76	34.63	36.27	107
L _{Ma}	89.32	-35.8	27.64	45.24	142
C _{Ma}	90.93	-21.95	-7.07	23.07	198
V _{Ma}	72.1	15.76	-35.63	38.97	294
M _{Ma}	78.5	37.52	-25.23	45.22	326
N _{Ma}	69.7	0.0	0.0	0.0	0
W _{Ma}	95.41	0.0	0.0	0.0	0
R _{CIE}	39.92	58.74	27.99	65.07	25
J _{CIE}	81.26	-2.88	71.56	71.62	92
G _{CIE}	52.23	-42.41	13.6	44.55	162
B _{CIE}	30.57	1.41	-46.46	46.49	272

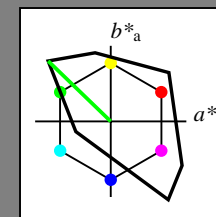
Ausgabe: Farbmetrisches Fernseh-Licht-System TLS00

für Buntton $h^* = lab^*h = 136/360 = 0.378$ lab^*ich und lab^*nch

D65: Buntton L

LCH*Ma: 84 115 136

olv*Ma: 0.0 1.0 0.0

Dreiecks-Helligkeit t^* 

%Umfang

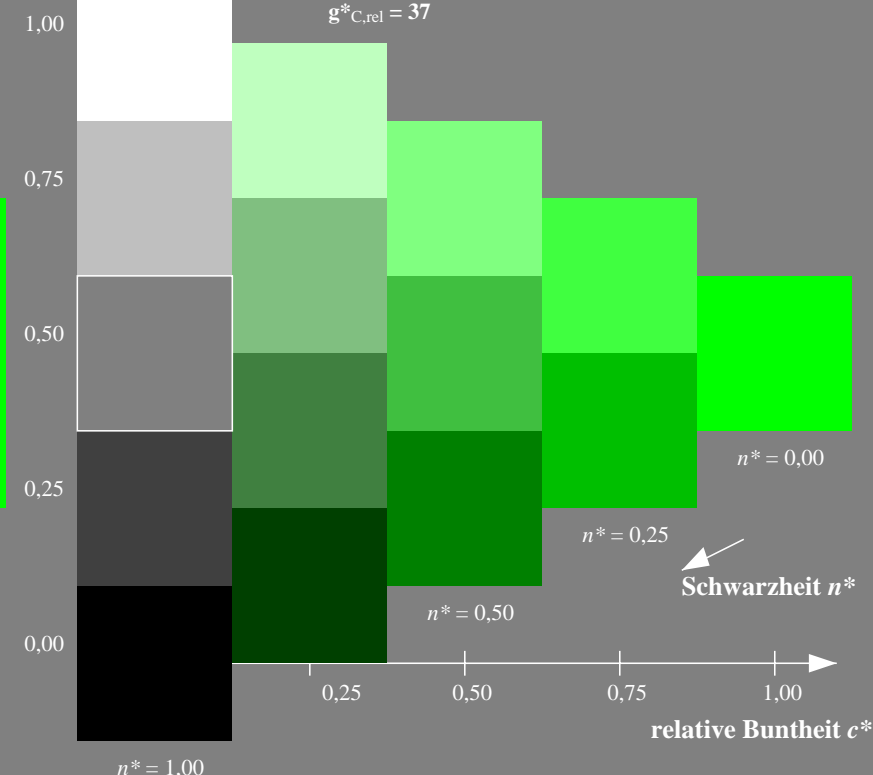
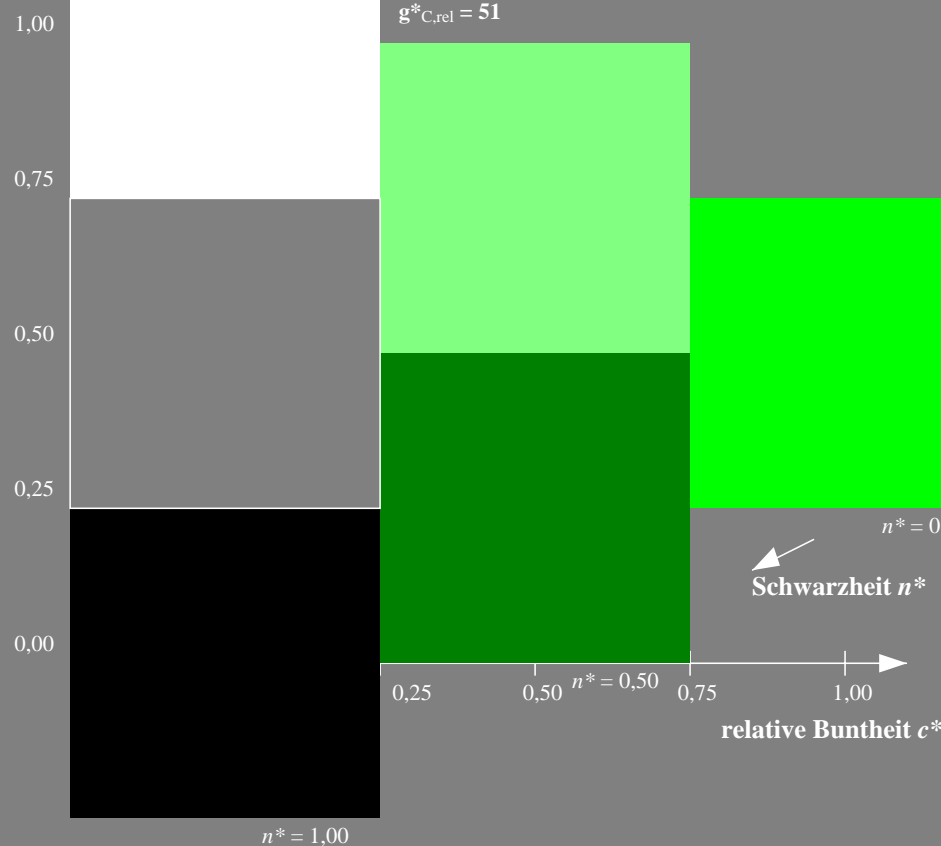
 $u^*_{rel} = 158$

%Regularität

 $g^*_{H,rel} = 20$ $g^*_{C,rel} = 37$

TLS00; adaptierte CIELAB-Daten

	$L^*=L^*_a$	a^*_a	b^*_a	$C^*_{ab,a}$	$h^*_{ab,a}$
O _{Ma}	50.5	76.92	64.55	100.42	40
Y _{Ma}	92.66	-20.69	90.75	93.08	103
L _{Ma}	83.63	-82.75	79.9	115.04	136
C _{Ma}	86.88	-46.16	-13.55	48.12	196
V _{Ma}	30.39	76.06	-103.59	128.52	306
M _{Ma}	57.3	94.35	-58.41	110.97	328
N _{Ma}	0.01	0.0	0.0	0.0	0
W _{Ma}	95.41	0.0	0.0	0.0	0
R _{CIE}	39.92	58.74	27.99	65.07	25
J _{CIE}	81.26	-2.88	71.56	71.62	92
G _{CIE}	52.23	-42.41	13.6	44.55	162
B _{CIE}	30.57	1.41	-46.46	46.49	272



NG880-7, 3stufige Reihen für konstanten CIELAB Buntton 142/360 = 0.395 (links)

5stufige Reihen für konstanten CIELAB Buntton 136/360 = 0.378 (rechts)

BAM-Prüfvorlage NG88; Farbmetrik-Systeme ORS18 & ORS18input: olv* setrgbcolor

D65: 3 und 5stufige Farbreihen für 10 Bunttöne

output: Startup (S) data dependend

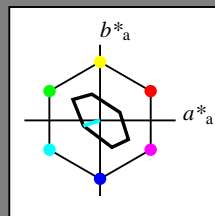
Eingabe: Farbmetrisches Fernseh-Licht-System TLS70

für Buntton $h^* = lab^*h = 198/360 = 0.55$ lab^*ich und lab^*nch

D65: Buntton C

LCH*Ma: 91 23 198

olv*Ma: 0.0 1.0 1.0

Dreiecks-Helligkeit t^* 

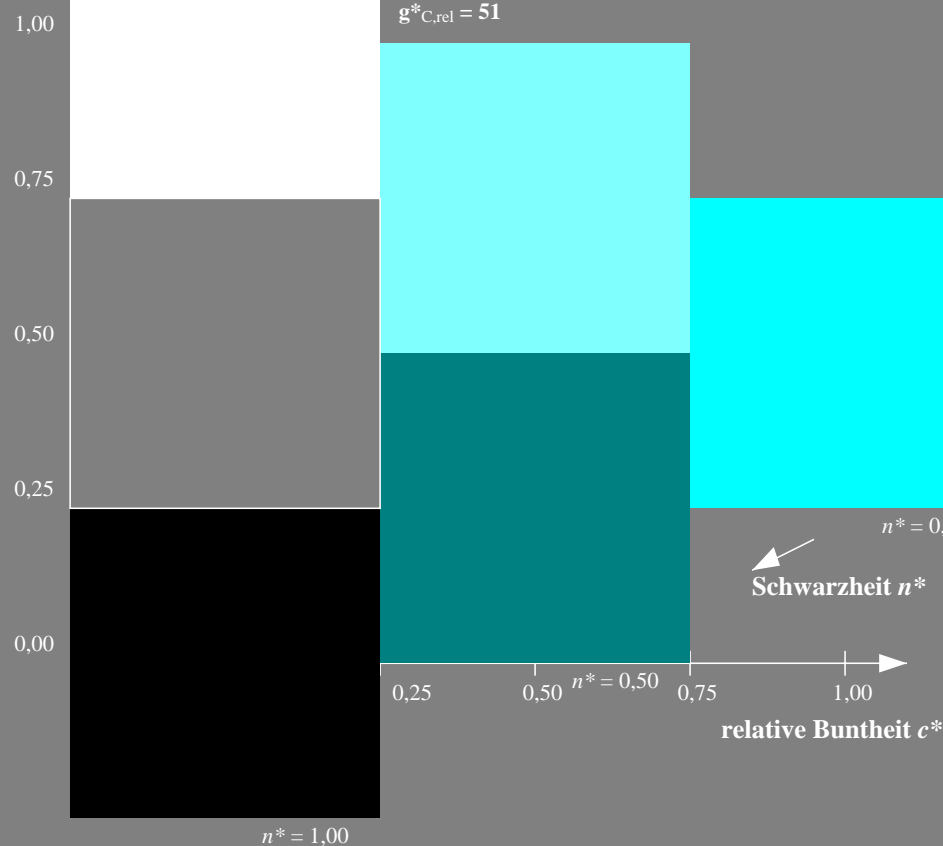
TLS70; adaptierte CIELAB-Daten

	$L^*=L^*_a$	a^*_a	b^*_a	$C^*_{ab,a}$	$h^*_{ab,a}$
O _{Ma}	76.43	26.27	10.57	28.32	22
Y _{Ma}	93.93	-10.76	34.63	36.27	107
L _{Ma}	89.32	-35.8	27.64	45.24	142
C _{Ma}	90.93	-21.95	-7.07	23.07	198
V _{Ma}	72.1	15.76	-35.63	38.97	294
M _{Ma}	78.5	37.52	-25.23	45.22	326
N _{Ma}	69.7	0.0	0.0	0.0	0
W _{Ma}	95.41	0.0	0.0	0.0	0
R _{CIE}	39.92	58.74	27.99	65.07	25
J _{CIE}	81.26	-2.88	71.56	71.62	92
G _{CIE}	52.23	-42.41	13.6	44.55	162
B _{CIE}	30.57	1.41	-46.46	46.49	272

%Umfang

 $u^*_{rel} = 16$

%Regularität

 $g^*_{H,rel} = 34$ $g^*_{C,rel} = 51$ 

NG880-7, 3stufige Reihen für konstanten CIELAB Buntton 198/360 = 0.55 (links)

BAM-Prüfvorlage NG88; Farbmetrik-Systeme ORS18 & ORS18input: olv* setrgbcolor

D65: 3 und 5stufige Farbreihen für 10 Bunttöne

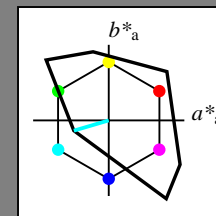
Ausgabe: Farbmetrisches Fernseh-Licht-System TLS00

für Buntton $h^* = lab^*h = 196/360 = 0.545$ lab^*ich und lab^*nch

D65: Buntton C

LCH*Ma: 87 48 196

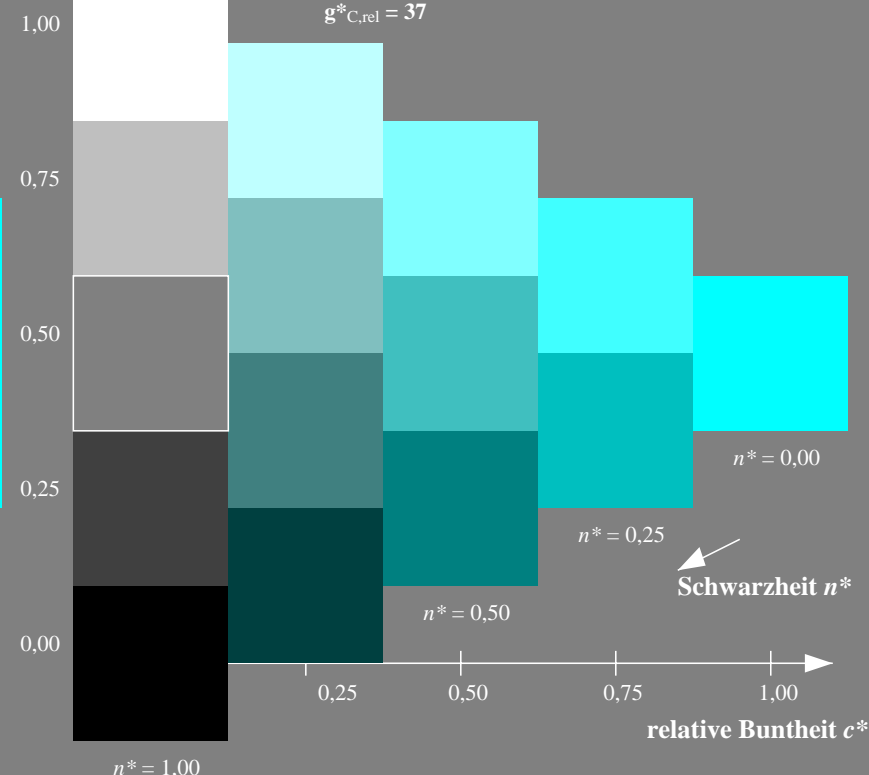
olv*Ma: 0.0 1.0 1.0

Dreiecks-Helligkeit t^* 

%Umfang

 $u^*_{rel} = 158$

%Regularität

 $g^*_{H,rel} = 20$ $g^*_{C,rel} = 37$ 

5stufige Reihen für konstanten CIELAB Buntton 196/360 = 0.545 (rechts)

output: Startup (S) data dependend

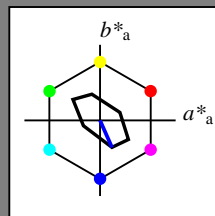
Eingabe: Farbmetrisches Fernseh-Licht-System TLS70

für Buntton $h^* = lab^*h = 294/360 = 0.816$ lab^*ich und lab^*nch

D65: Buntton V

LCH*Ma: 72 39 294

olv*Ma: 0.0 0.0 1.0

Dreiecks-Helligkeit t^* 

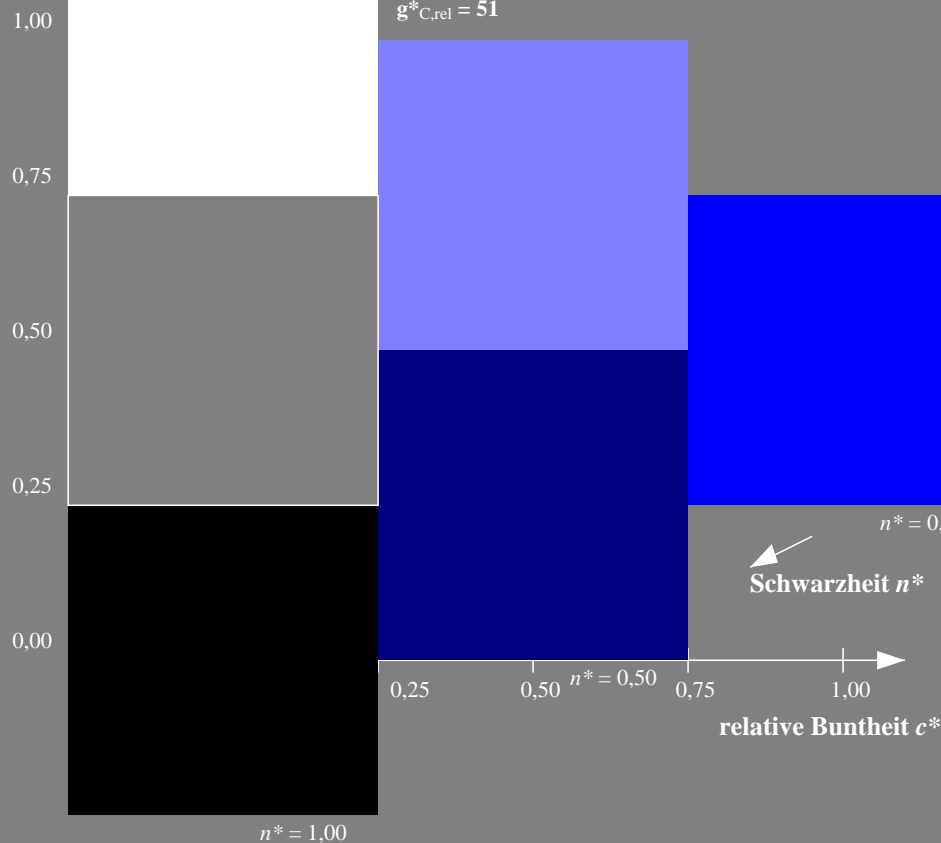
TLS70; adaptierte CIELAB-Daten

	$L^*=L^*_a$	a^*_a	b^*_a	$C^*_{ab,a}$	$h^*_{ab,a}$
O _{Ma}	76.43	26.27	10.57	28.32	22
Y _{Ma}	93.93	-10.76	34.63	36.27	107
L _{Ma}	89.32	-35.8	27.64	45.24	142
C _{Ma}	90.93	-21.95	-7.07	23.07	198
V _{Ma}	72.1	15.76	-35.63	38.97	294
M _{Ma}	78.5	37.52	-25.23	45.22	326
N _{Ma}	69.7	0.0	0.0	0.0	0
W _{Ma}	95.41	0.0	0.0	0.0	0
R _{CIE}	39.92	58.74	27.99	65.07	25
J _{CIE}	81.26	-2.88	71.56	71.62	92
G _{CIE}	52.23	-42.41	13.6	44.55	162
B _{CIE}	30.57	1.41	-46.46	46.49	272

%Umfang

 $u^*_{rel} = 16$

%Regularität

 $g^*_{H,rel} = 34$ $g^*_{C,rel} = 51$ 

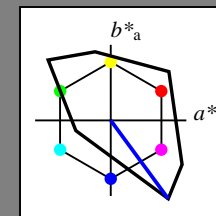
Ausgabe: Farbmetrisches Fernseh-Licht-System TLS00

für Buntton $h^* = lab^*h = 306/360 = 0.851$ lab^*ich und lab^*nch

D65: Buntton V

LCH*Ma: 30 129 306

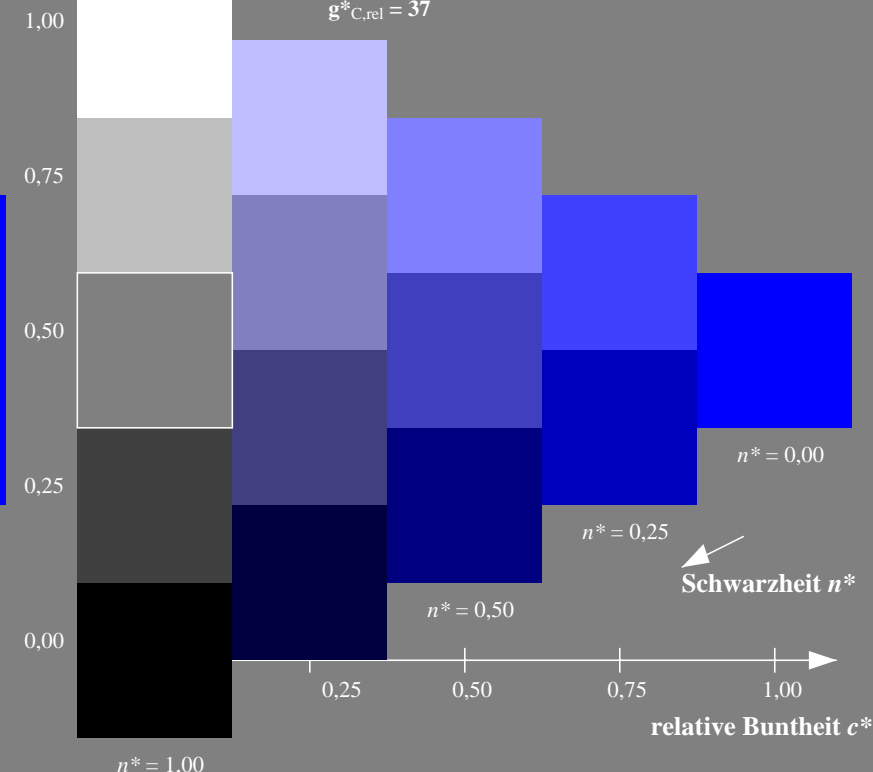
olv*Ma: 0.0 0.0 1.0

Dreiecks-Helligkeit t^* 

%Umfang

 $u^*_{rel} = 158$

%Regularität

 $g^*_{H,rel} = 20$ $g^*_{C,rel} = 37$ 

NG880-7, 3stufige Reihen für konstanten CIELAB Buntton 294/360 = 0.816 (links)

5stufige Reihen für konstanten CIELAB Buntton 306/360 = 0.851 (rechts)

BAM-Prüfvorlage NG88; Farbmetrik-Systeme ORS18 & ORS18input: olv* setrgbcolor

D65: 3 und 5stufige Farbreihen für 10 Bunttöne

output: Startup (S) data dependend

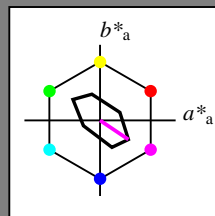
Eingabe: Farbmetrisches Fernseh-Licht-System TLS70

für Buntton $h^* = lab^*h = 326/360 = 0.906$ lab^*ich und lab^*nch

D65: Buntton M

LCH*Ma: 79 45 326

olv*Ma: 1.0 0.0 1.0

Dreiecks-Helligkeit t^* 

%Umfang

 $u^*_{rel} = 16$

%Regularität

 $g^*_{H,rel} = 34$ $g^*_{C,rel} = 51$

TLS70; adaptierte CIELAB-Daten

	$L^*=L^*_a$	a^*_a	b^*_a	$C^*_{ab,a}$	$h^*_{ab,a}$
O _{Ma}	76.43	26.27	10.57	28.32	22
Y _{Ma}	93.93	-10.76	34.63	36.27	107
L _{Ma}	89.32	-35.8	27.64	45.24	142
C _{Ma}	90.93	-21.95	-7.07	23.07	198
V _{Ma}	72.1	15.76	-35.63	38.97	294
M _{Ma}	78.5	37.52	-25.23	45.22	326
N _{Ma}	69.7	0.0	0.0	0.0	0
W _{Ma}	95.41	0.0	0.0	0.0	0
R _{CIE}	39.92	58.74	27.99	65.07	25
J _{CIE}	81.26	-2.88	71.56	71.62	92
G _{CIE}	52.23	-42.41	13.6	44.55	162
B _{CIE}	30.57	1.41	-46.46	46.49	272

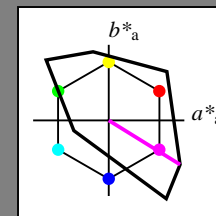
Ausgabe: Farbmetrisches Fernseh-Licht-System TLS00

für Buntton $h^* = lab^*h = 328/360 = 0.912$ lab^*ich und lab^*nch

D65: Buntton M

LCH*Ma: 57 111 328

olv*Ma: 1.0 0.0 1.0

Dreiecks-Helligkeit t^* 

%Umfang

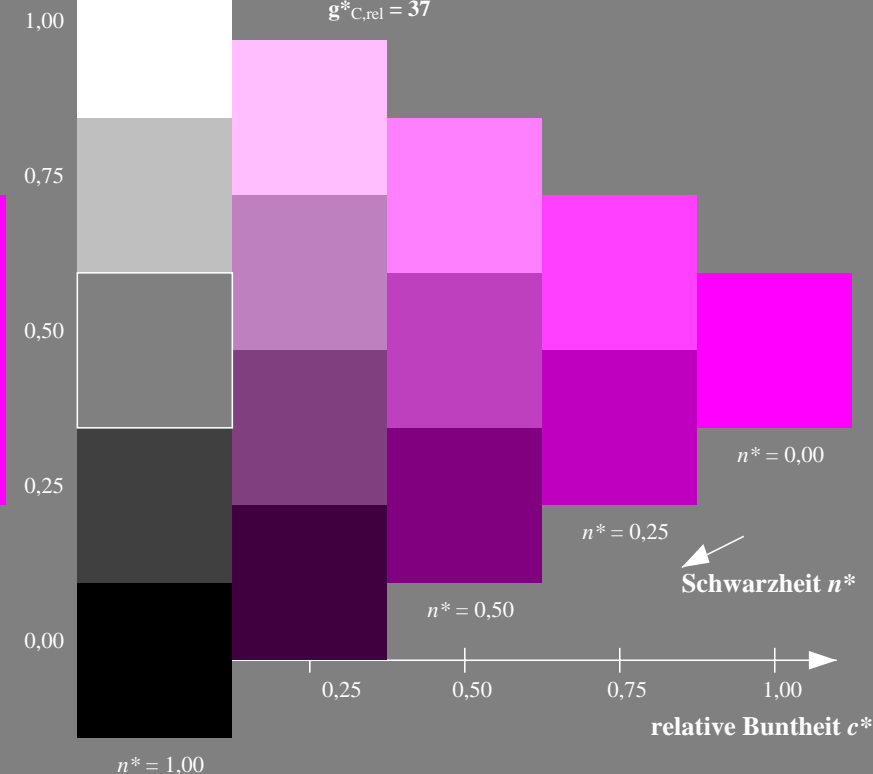
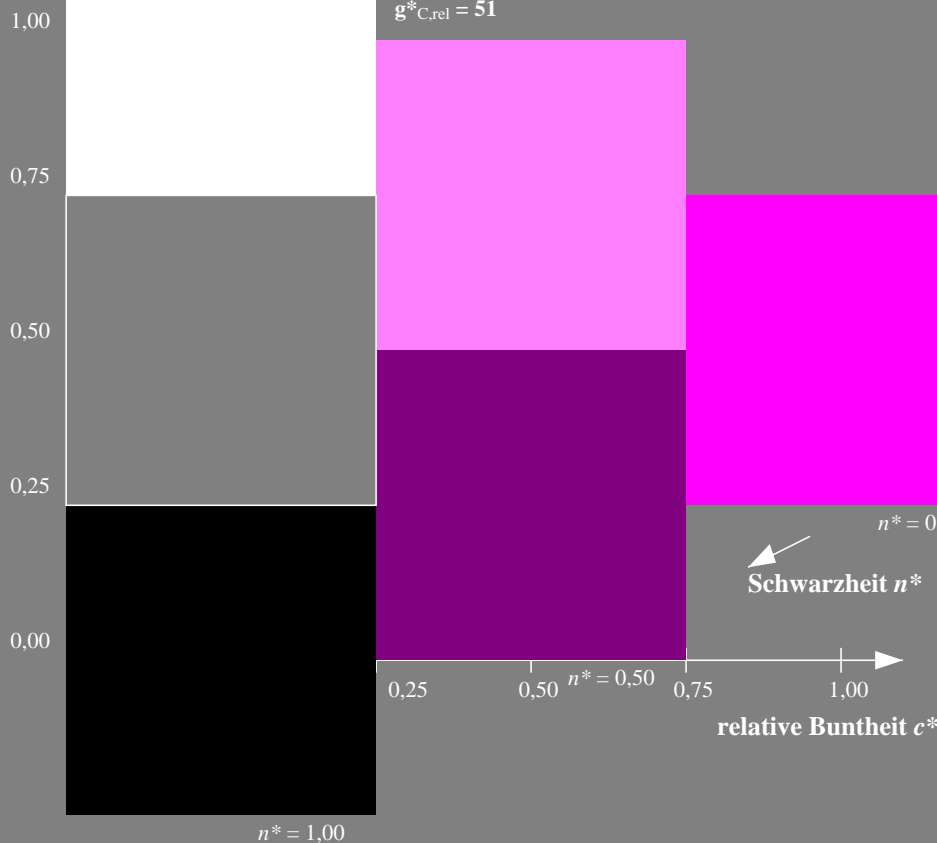
 $u^*_{rel} = 158$

%Regularität

 $g^*_{H,rel} = 20$ $g^*_{C,rel} = 37$

TLS00; adaptierte CIELAB-Daten

	$L^*=L^*_a$	a^*_a	b^*_a	$C^*_{ab,a}$	$h^*_{ab,a}$
O _{Ma}	50.5	76.92	64.55	100.42	40
Y _{Ma}	92.66	-20.69	90.75	93.08	103
L _{Ma}	83.63	-82.75	79.9	115.04	136
C _{Ma}	86.88	-46.16	-13.55	48.12	196
V _{Ma}	30.39	76.06	-103.59	128.52	306
M _{Ma}	57.3	94.35	-58.41	110.97	328
N _{Ma}	0.01	0.0	0.0	0.0	0
W _{Ma}	95.41	0.0	0.0	0.0	0
R _{CIE}	39.92	58.74	27.99	65.07	25
J _{CIE}	81.26	-2.88	71.56	71.62	92
G _{CIE}	52.23	-42.41	13.6	44.55	162
B _{CIE}	30.57	1.41	-46.46	46.49	272



NG880-7, 3stufige Reihen für konstanten CIELAB Buntton 326/360 = 0.906 (links)

5stufige Reihen für konstanten CIELAB Buntton 328/360 = 0.912 (rechts)

BAM-Prüfvorlage NG88; Farbmetrik-Systeme ORS18 & ORS18input: olv* setrgbcolor

D65: 3 und 5stufige Farbreihen für 10 Bunttöne

output: Startup (S) data dependend

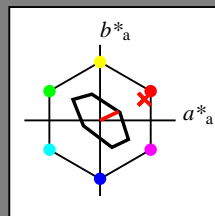
Eingabe: Farbmetrisches Fernseh-Licht-System TLS70

für Buntton $h^* = lab^*h = 25/360 = 0.071$ lab^*ich und lab^*nch

D65: Buntton R

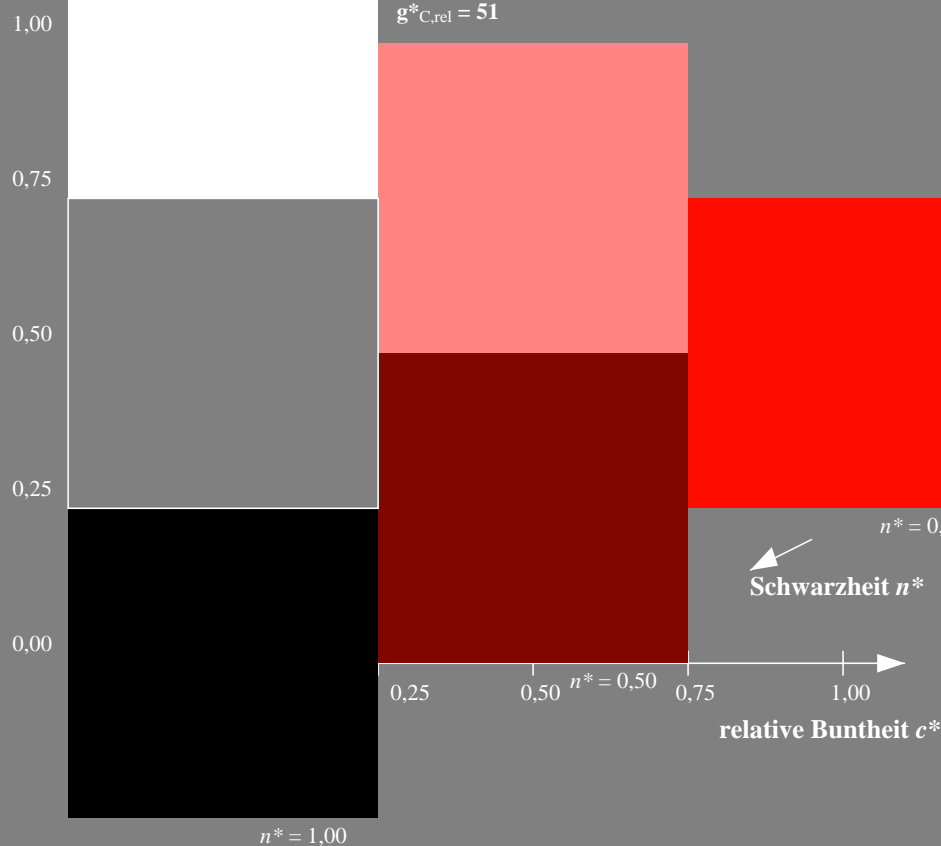
LCH*Ma: 77 27 25

olv*Ma: 1.0 0.05 0.0

Dreiecks-Helligkeit t^* %Umfang
 $u^*_{rel} = 16$
%Regularität
 $g^*_{H,rel} = 34$
 $g^*_{C,rel} = 51$

TLS70; adaptierte CIELAB-Daten

	$L^*=L^*_a$	a^*_a	b^*_a	$C^*_{ab,a}$	$h^*_{ab,a}$
O _{Ma}	76.43	26.27	10.57	28.32	22
Y _{Ma}	93.93	-10.76	34.63	36.27	107
L _{Ma}	89.32	-35.8	27.64	45.24	142
C _{Ma}	90.93	-21.95	-7.07	23.07	198
V _{Ma}	72.1	15.76	-35.63	38.97	294
M _{Ma}	78.5	37.52	-25.23	45.22	326
N _{Ma}	69.7	0.0	0.0	0.0	0
W _{Ma}	95.41	0.0	0.0	0.0	0
R _{CIE}	39.92	58.74	27.99	65.07	25
J _{CIE}	81.26	-2.88	71.56	71.62	92
G _{CIE}	52.23	-42.41	13.6	44.55	162
B _{CIE}	30.57	1.41	-46.46	46.49	272



NG880-7, 3stufige Reihen für konstanten CIELAB Buntton 25/360 = 0.071 (links)

BAM-Prüfvorlage NG88; Farbmetrik-Systeme ORS18 & ORS18input: olv* setrgbcolor

D65: 3 und 5stufige Farbreihen für 10 Bunttöne

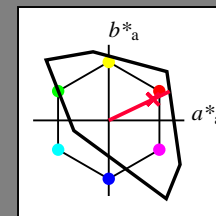
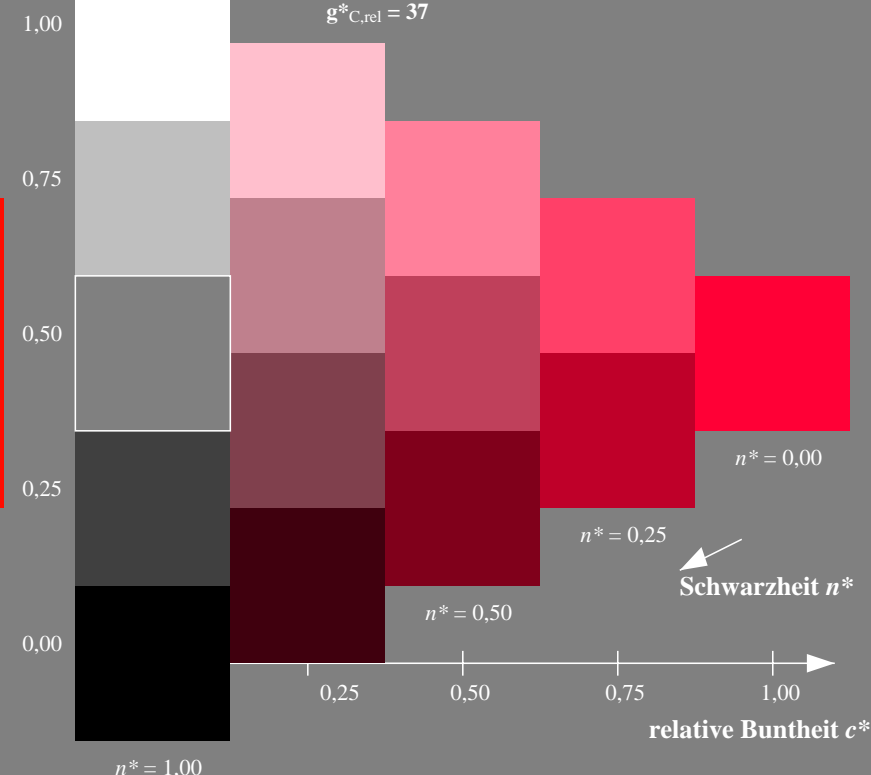
Ausgabe: Farbmetrisches Fernseh-Licht-System TLS00

für Buntton $h^* = lab^*h = 25/360 = 0.071$ lab^*ich und lab^*nch

D65: Buntton R

LCH*Ma: 52 89 25

olv*Ma: 1.0 0.0 0.21

Dreiecks-Helligkeit t^* %Umfang
 $u^*_{rel} = 158$
%Regularität
 $g^*_{H,rel} = 20$
 $g^*_{C,rel} = 37$ 

5stufige Reihen für konstanten CIELAB Buntton 25/360 = 0.071 (rechts)

output: Startup (S) data dependend

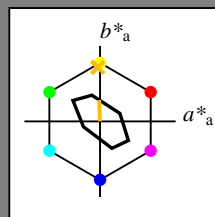
Eingabe: Farbmetrisches Fernseh-Licht-System TLS70

für Buntton $h^* = lab^*h = 92/360 = 0.256$ lab^*ich und lab^*nch

D65: Buntton J

LCH*Ma: 89 28 92

olv*Ma: 1.0 0.74 0.0

Dreiecks-Helligkeit t^* 

%Umfang

 $u^*_{rel} = 16$

%Regularität

 $g^*_{H,rel} = 34$ $g^*_{C,rel} = 51$

TLS70; adaptierte CIELAB-Daten

	$L^*=L^*_a$	a^*_a	b^*_a	$C^*_{ab,a}$	$h^*_{ab,a}$
O _{Ma}	76.43	26.27	10.57	28.32	22
Y _{Ma}	93.93	-10.76	34.63	36.27	107
L _{Ma}	89.32	-35.8	27.64	45.24	142
C _{Ma}	90.93	-21.95	-7.07	23.07	198
V _{Ma}	72.1	15.76	-35.63	38.97	294
M _{Ma}	78.5	37.52	-25.23	45.22	326
N _{Ma}	69.7	0.0	0.0	0.0	0
W _{Ma}	95.41	0.0	0.0	0.0	0
R _{CIE}	39.92	58.74	27.99	65.07	25
J _{CIE}	81.26	-2.88	71.56	71.62	92
G _{CIE}	52.23	-42.41	13.6	44.55	162
B _{CIE}	30.57	1.41	-46.46	46.49	272

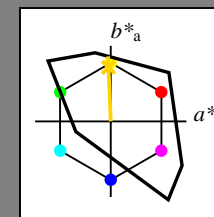
Ausgabe: Farbmetrisches Fernseh-Licht-System TLS00

für Buntton $h^* = lab^*h = 92/360 = 0.256$ lab^*ich und lab^*nch

D65: Buntton J

LCH*Ma: 85 86 92

olv*Ma: 1.0 0.82 0.0

Dreiecks-Helligkeit t^* 

%Umfang

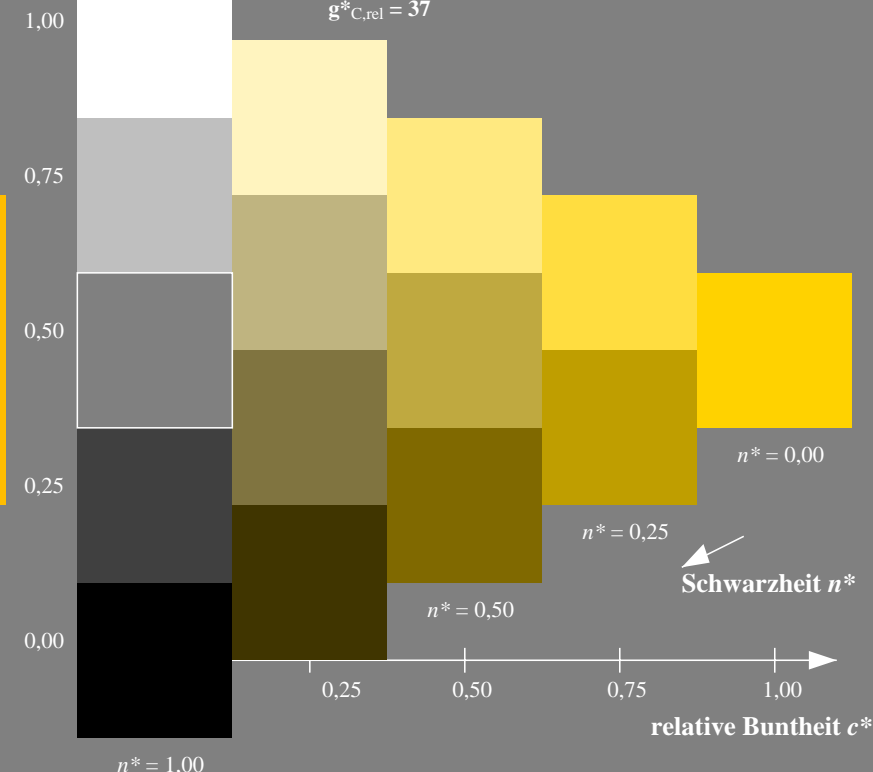
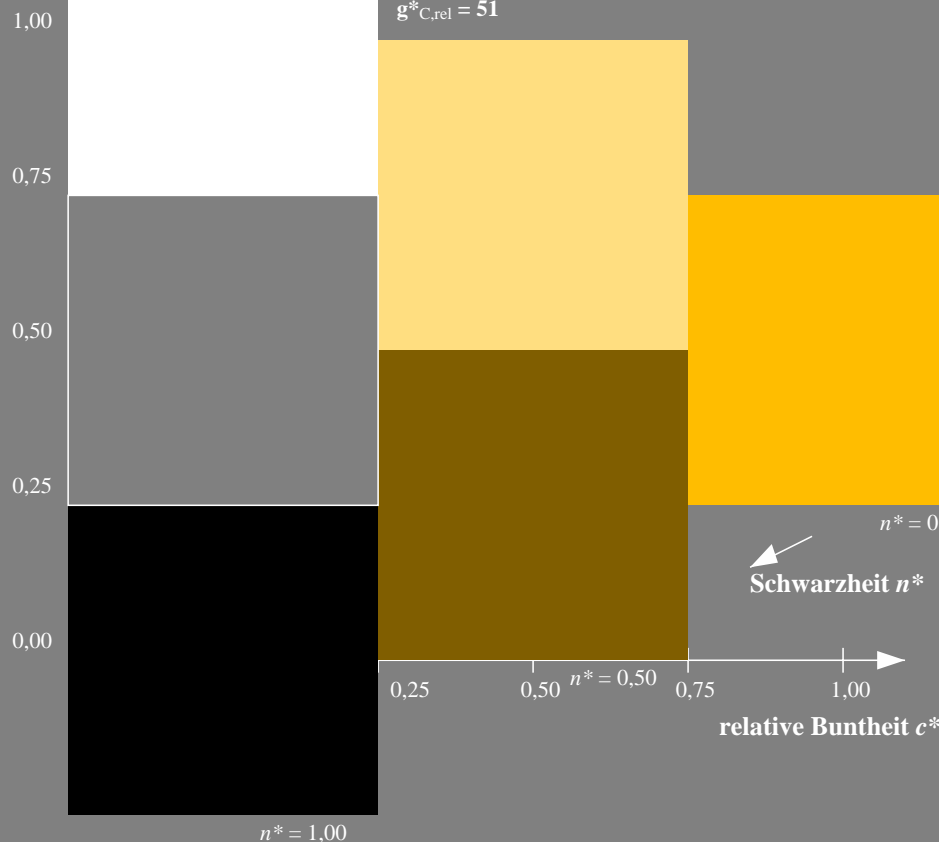
 $u^*_{rel} = 158$

%Regularität

 $g^*_{H,rel} = 20$ $g^*_{C,rel} = 37$

TLS00; adaptierte CIELAB-Daten

	$L^*=L^*_a$	a^*_a	b^*_a	$C^*_{ab,a}$	$h^*_{ab,a}$
O _{Ma}	50.5	76.92	64.55	100.42	40
Y _{Ma}	92.66	-20.69	90.75	93.08	103
L _{Ma}	83.63	-82.75	79.9	115.04	136
C _{Ma}	86.88	-46.16	-13.55	48.12	196
V _{Ma}	30.39	76.06	-103.59	128.52	306
M _{Ma}	57.3	94.35	-58.41	110.97	328
N _{Ma}	0.01	0.0	0.0	0.0	0
W _{Ma}	95.41	0.0	0.0	0.0	0
R _{CIE}	39.92	58.74	27.99	65.07	25
J _{CIE}	81.26	-2.88	71.56	71.62	92
G _{CIE}	52.23	-42.41	13.6	44.55	162
B _{CIE}	30.57	1.41	-46.46	46.49	272



NG880-7, 3stufige Reihen für konstanten CIELAB Buntton 92/360 = 0.256 (links)

5stufige Reihen für konstanten CIELAB Buntton 92/360 = 0.256 (rechts)

BAM-Prüfvorlage NG88; Farbmetrik-Systeme ORS18 & ORS18input: olv* setrgbcolor

D65: 3 und 5stufige Farbreihen für 10 Bunttöne

output: Startup (S) data dependend

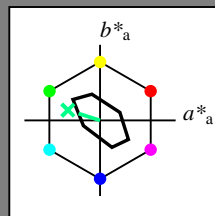
Eingabe: Farbmetrisches Fernseh-Licht-System TLS70

für Buntton $h^* = lab^*h = 162/360 = 0.451$ lab^*ich und lab^*nch

D65: Buntton G

LCH*Ma: 90 30 162

olv*Ma: 0.0 1.0 0.53

Dreiecks-Helligkeit t^* 

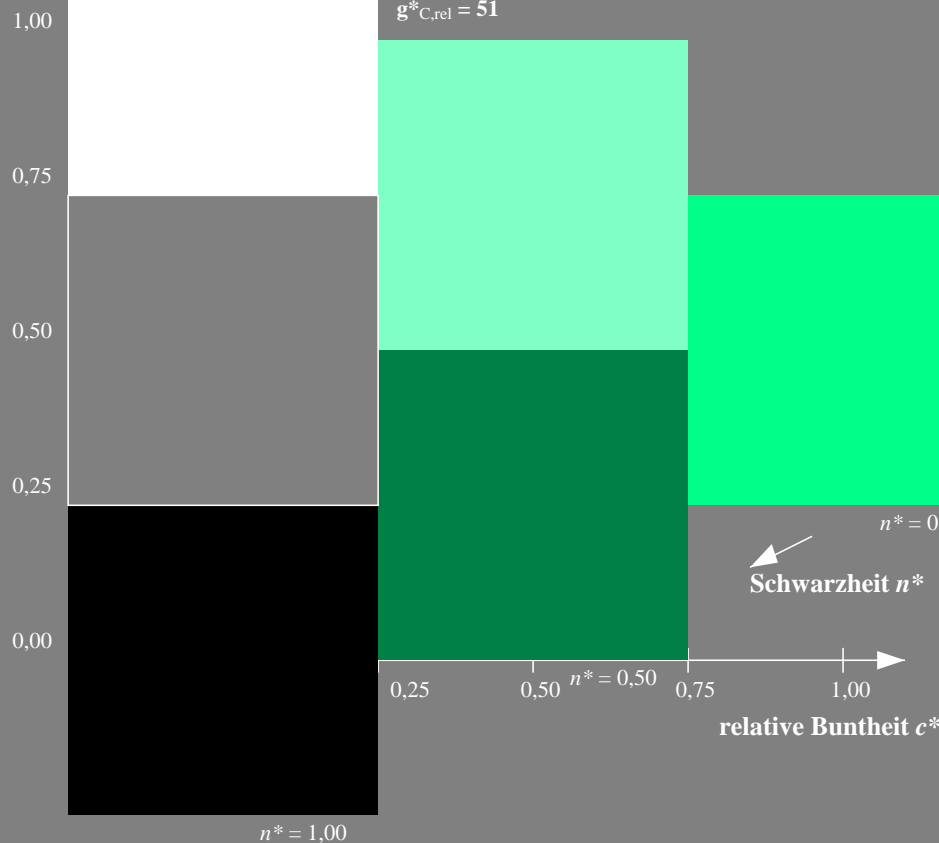
TLS70; adaptierte CIELAB-Daten

	$L^*=L^*_a$	a^*_a	b^*_a	$C^*_{ab,a}$	$h^*_{ab,a}$
O _{Ma}	76.43	26.27	10.57	28.32	22
Y _{Ma}	93.93	-10.76	34.63	36.27	107
L _{Ma}	89.32	-35.8	27.64	45.24	142
C _{Ma}	90.93	-21.95	-7.07	23.07	198
V _{Ma}	72.1	15.76	-35.63	38.97	294
M _{Ma}	78.5	37.52	-25.23	45.22	326
N _{Ma}	69.7	0.0	0.0	0.0	0
W _{Ma}	95.41	0.0	0.0	0.0	0
R _{CIE}	39.92	58.74	27.99	65.07	25
J _{CIE}	81.26	-2.88	71.56	71.62	92
G _{CIE}	52.23	-42.41	13.6	44.55	162
B _{CIE}	30.57	1.41	-46.46	46.49	272

%Umfang

 $u^*_{rel} = 16$

%Regularität

 $g^*_{H,rel} = 34$ $g^*_{C,rel} = 51$ 

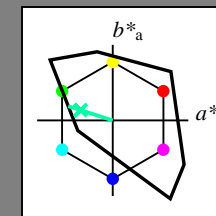
Ausgabe: Farbmetrisches Fernseh-Licht-System TLS00

für Buntton $h^* = lab^*h = 162/360 = 0.451$ lab^*ich und lab^*nch

D65: Buntton G

LCH*Ma: 86 62 162

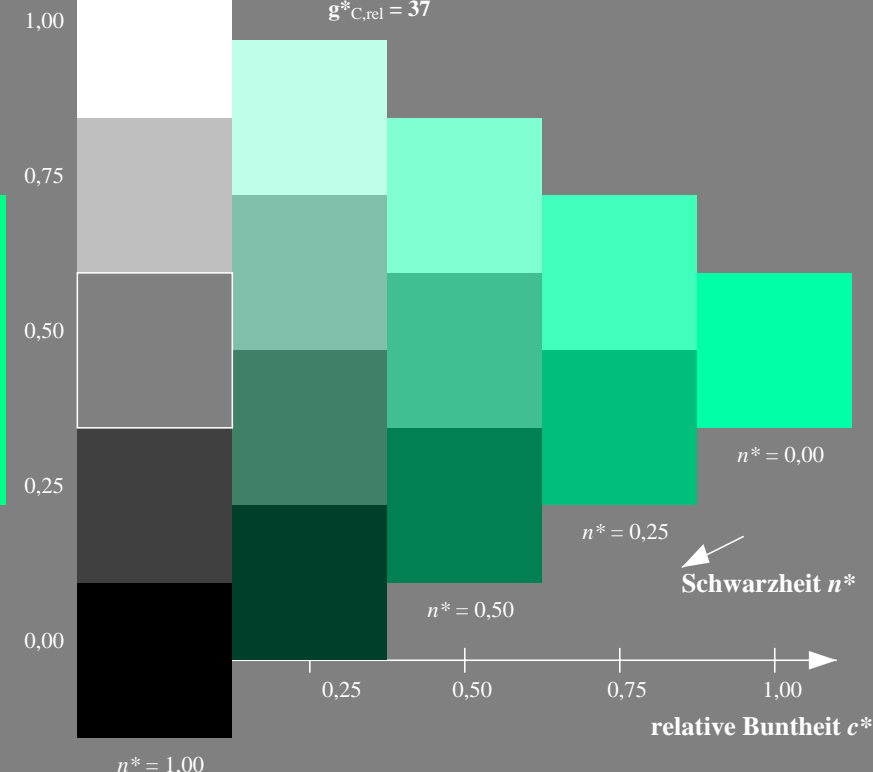
olv*Ma: 0.0 1.0 0.65

Dreiecks-Helligkeit t^* 

%Umfang

 $u^*_{rel} = 158$

%Regularität

 $g^*_{H,rel} = 20$ $g^*_{C,rel} = 37$ 

NG880-7, 3stufige Reihen für konstanten CIELAB Buntton 162/360 = 0.451 (links)

5stufige Reihen für konstanten CIELAB Buntton 162/360 = 0.451 (rechts)

BAM-Prüfvorlage NG88; Farbmetrik-Systeme ORS18 & ORS18input: olv* setrgbcolor

D65: 3 und 5stufige Farbreihen für 10 Bunttöne

output: Startup (S) data dependend

Siehe ähnliche Dateien: <http://www.ps.bam.de/NG88/>
Technische Information: <http://www.ps.bam.de> Version 2.1, io=1,1?

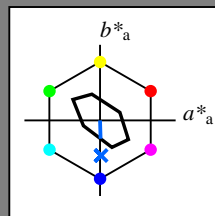
BAM-Registrierung: 20060101-NG88/10Q/Q88G09SP.PS/.PDF BAM-Material: Code=rh4ta
Anwendung für Beurteilung und Messung von Drucker- oder Monitorsystemen
/NG88/ Form: 10/10Serie: 1/1, Seite: 10
Satzung 10

Eingabe: Farbmetrisches Fernseh-Licht-System TLS70

für Buntton $h^* = lab^*h = 272/360 = 0.755$
 lab^*ich und lab^*nch

D65: Buntton B
LCH*Ma: 80 24 272
olv*Ma: 0.0 0.4 1.0

Dreiecks-Helligkeit t^*



%Umfang
 $u^*_{rel} = 16$
%Regularität
 $g^*_{H,rel} = 34$
 $g^*_{C,rel} = 51$

TLS70; adaptierte CIELAB-Daten

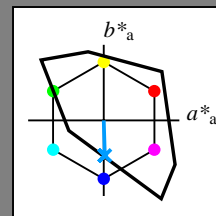
	$L^*=L^*_a$	a^*_a	b^*_a	$C^*_{ab,a}$	$h^*_{ab,a}$
O _{Ma}	76.43	26.27	10.57	28.32	22
Y _{Ma}	93.93	-10.76	34.63	36.27	107
L _{Ma}	89.32	-35.8	27.64	45.24	142
C _{Ma}	90.93	-21.95	-7.07	23.07	198
V _{Ma}	72.1	15.76	-35.63	38.97	294
M _{Ma}	78.5	37.52	-25.23	45.22	326
N _{Ma}	69.7	0.0	0.0	0.0	0
W _{Ma}	95.41	0.0	0.0	0.0	0
R _{CIE}	39.92	58.74	27.99	65.07	25
J _{CIE}	81.26	-2.88	71.56	71.62	92
G _{CIE}	52.23	-42.41	13.6	44.55	162
B _{CIE}	30.57	1.41	-46.46	46.49	272

Ausgabe: Farbmetrisches Fernseh-Licht-System TLS00

für Buntton $h^* = lab^*h = 272/360 = 0.755$
 lab^*ich und lab^*nch

D65: Buntton B
LCH*Ma: 65 49 272
olv*Ma: 0.0 0.61 1.0

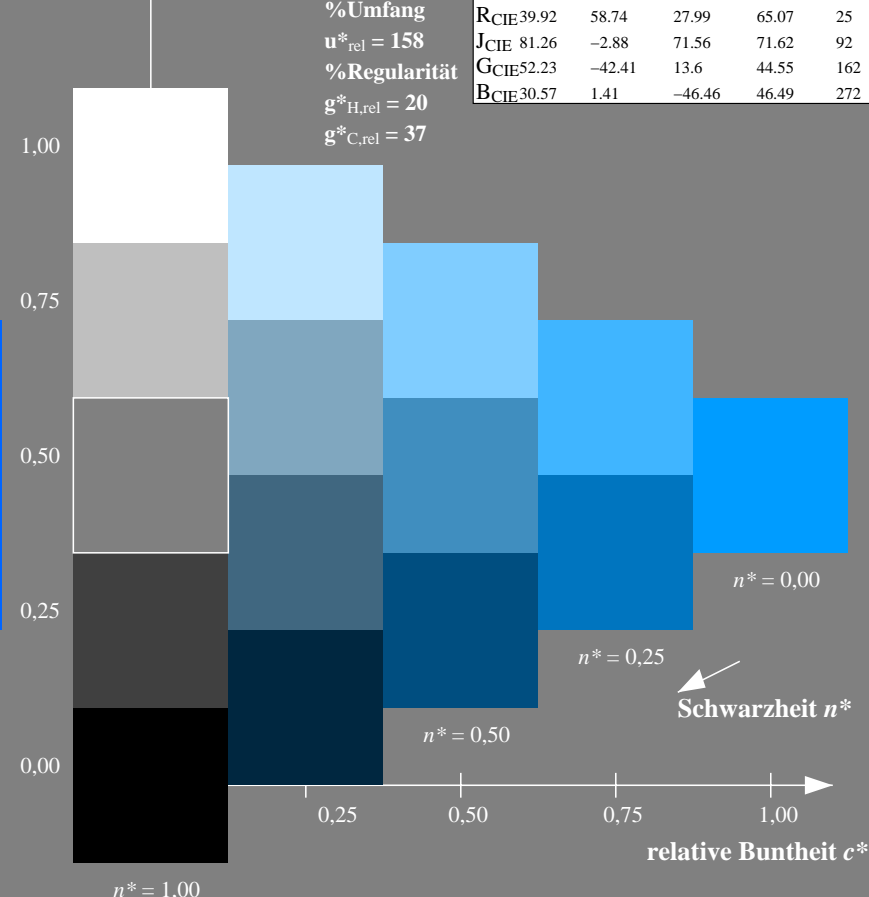
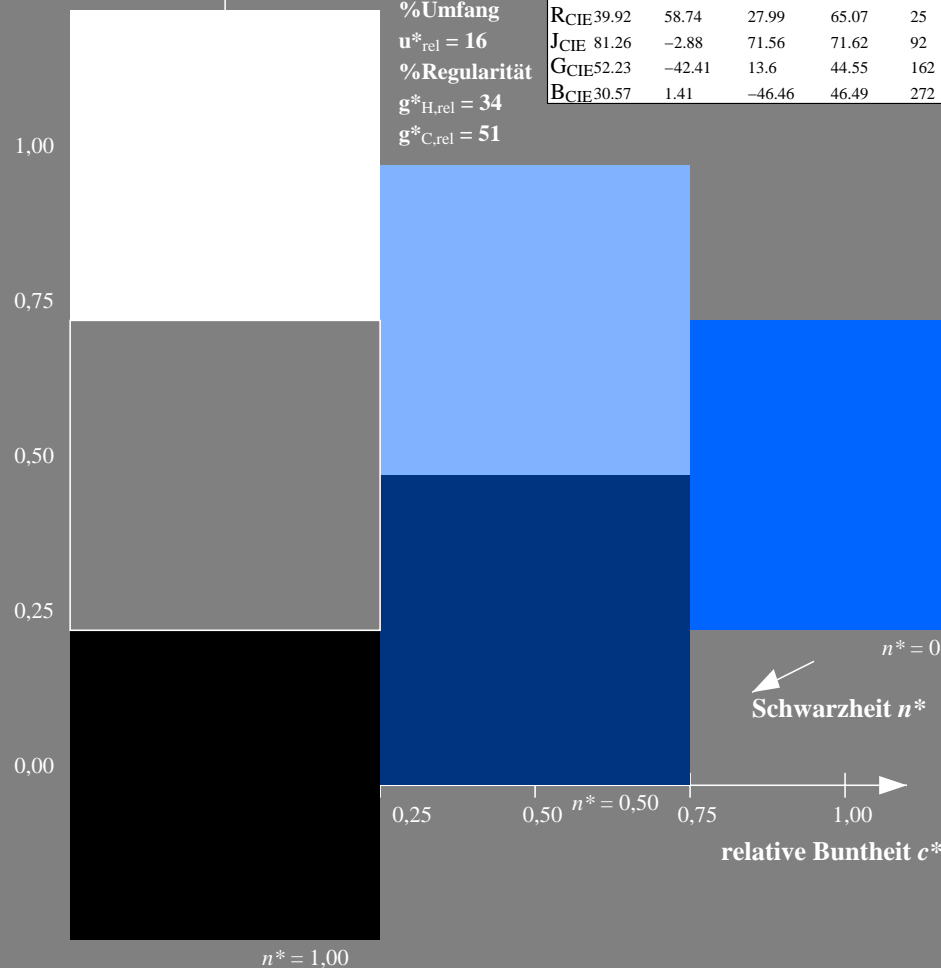
Dreiecks-Helligkeit t^*



%Umfang
 $u^*_{rel} = 158$
%Regularität
 $g^*_{H,rel} = 20$
 $g^*_{C,rel} = 37$

TLS00; adaptierte CIELAB-Daten

	$L^*=L^*_a$	a^*_a	b^*_a	$C^*_{ab,a}$	$h^*_{ab,a}$
O _{Ma}	50.5	76.92	64.55	100.42	40
Y _{Ma}	92.66	-20.69	90.75	93.08	103
L _{Ma}	83.63	-82.75	79.9	115.04	136
C _{Ma}	86.88	-46.16	-13.55	48.12	196
V _{Ma}	30.39	76.06	-103.59	128.52	306
M _{Ma}	57.3	94.35	-58.41	110.97	328
N _{Ma}	0.01	0.0	0.0	0.0	0
W _{Ma}	95.41	0.0	0.0	0.0	0
R _{CIE}	39.92	58.74	27.99	65.07	25
J _{CIE}	81.26	-2.88	71.56	71.62	92
G _{CIE}	52.23	-42.41	13.6	44.55	162
B _{CIE}	30.57	1.41	-46.46	46.49	272



NG880-7, 3stufige Reihen für konstanten CIELAB Buntton 272/360 = 0.755 (links)

5stufige Reihen für konstanten CIELAB Buntton 272/360 = 0.755 (rechts)

BAM-Prüfvorlage NG88; Farbmetrik-Systeme ORS18 & ORS18input: olv* setrgbcolor

D65: 3 und 5stufige Farbreihen für 10 Bunttöne

output: Startup (S) data dependend